

# Starkniederschlagshöhen und -spenden gemäß KOSTRA-DWD-2020

## Rasterfeld 129193

(Zeile 129, Spalte 193)

### Regenspende und Bemessungsniederschlagswerte in Abhängigkeit von Wiederkehrzeit T und Dauerstufe D

| Dauerstufe D |     | Wiederkehrzeit T |            |      |            |      |            |      |            |      |            |       |            |       |            |       |            |       |            |
|--------------|-----|------------------|------------|------|------------|------|------------|------|------------|------|------------|-------|------------|-------|------------|-------|------------|-------|------------|
|              |     | 1 a              |            | 2 a  |            | 3 a  |            | 5 a  |            | 10 a |            | 20 a  |            | 30 a  |            | 50 a  |            | 100 a |            |
| min          | Std | mm               | l / (s ha) | mm   | l / (s ha) | mm   | l / (s ha) | mm   | l / (s ha) | mm   | l / (s ha) | mm    | l / (s ha) | mm    | l / (s ha) | mm    | l / (s ha) | mm    | l / (s ha) |
| 5            |     | 7,4              | 246,7      | 9,4  | 313,3      | 10,6 | 353,3      | 12,2 | 406,7      | 14,5 | 483,3      | 16,8  | 560,0      | 18,4  | 613,3      | 20,4  | 680,0      | 23,3  | 776,7      |
| 10           |     | 9,7              | 161,7      | 12,2 | 203,3      | 13,8 | 230,0      | 15,9 | 265,0      | 18,9 | 315,0      | 22,0  | 366,7      | 24,0  | 400,0      | 26,7  | 445,0      | 30,5  | 508,3      |
| 15           |     | 11,0             | 122,2      | 13,9 | 154,4      | 15,7 | 174,4      | 18,1 | 201,1      | 21,5 | 238,9      | 25,0  | 277,8      | 27,3  | 303,3      | 30,4  | 337,8      | 34,7  | 385,6      |
| 20           |     | 12,0             | 100,0      | 15,1 | 125,8      | 17,1 | 142,5      | 19,7 | 164,2      | 23,4 | 195,0      | 27,2  | 226,7      | 29,7  | 247,5      | 33,0  | 275,0      | 37,7  | 314,2      |
| 30           |     | 13,3             | 73,9       | 16,9 | 93,9       | 19,1 | 106,1      | 21,9 | 121,7      | 26,1 | 145,0      | 30,4  | 168,9      | 33,2  | 184,4      | 36,8  | 204,4      | 42,1  | 233,9      |
| 45           |     | 14,8             | 54,8       | 18,7 | 69,3       | 21,1 | 78,1       | 24,3 | 90,0       | 28,9 | 107,0      | 33,6  | 124,4      | 36,7  | 135,9      | 40,8  | 151,1      | 46,6  | 172,6      |
| 60           | 1   | 15,8             | 43,9       | 20,0 | 55,6       | 22,6 | 62,8       | 26,0 | 72,2       | 30,9 | 85,8       | 36,0  | 100,0      | 39,3  | 109,2      | 43,7  | 121,4      | 49,9  | 138,6      |
| 90           | 1,5 | 17,4             | 32,2       | 22,0 | 40,7       | 24,8 | 45,9       | 28,6 | 53,0       | 34,0 | 63,0       | 39,5  | 73,1       | 43,2  | 80,0       | 48,0  | 88,9       | 54,8  | 101,5      |
| 120          | 2   | 18,5             | 25,7       | 23,5 | 32,6       | 26,5 | 36,8       | 30,5 | 42,4       | 36,3 | 50,4       | 42,2  | 58,6       | 46,1  | 64,0       | 51,2  | 71,1       | 58,5  | 81,3       |
| 180          | 3   | 20,3             | 18,8       | 25,7 | 23,8       | 29,0 | 26,9       | 33,4 | 30,9       | 39,7 | 36,8       | 46,2  | 42,8       | 50,4  | 46,7       | 56,0  | 51,9       | 64,0  | 59,3       |
| 240          | 4   | 21,6             | 15,0       | 27,3 | 19,0       | 30,9 | 21,5       | 35,5 | 24,7       | 42,2 | 29,3       | 49,1  | 34,1       | 53,7  | 37,3       | 59,6  | 41,4       | 68,1  | 47,3       |
| 360          | 6   | 23,6             | 10,9       | 29,8 | 13,8       | 33,7 | 15,6       | 38,8 | 18,0       | 46,1 | 21,3       | 53,6  | 24,8       | 58,6  | 27,1       | 65,0  | 30,1       | 74,3  | 34,4       |
| 540          | 9   | 25,7             | 7,9        | 32,5 | 10,0       | 36,7 | 11,3       | 42,3 | 13,1       | 50,3 | 15,5       | 58,5  | 18,1       | 63,9  | 19,7       | 70,9  | 21,9       | 81,1  | 25,0       |
| 720          | 12  | 27,3             | 6,3        | 34,6 | 8,0        | 39,1 | 9,1        | 45,0 | 10,4       | 53,4 | 12,4       | 62,2  | 14,4       | 67,9  | 15,7       | 75,4  | 17,5       | 86,2  | 20,0       |
| 1080         | 18  | 29,8             | 4,6        | 37,7 | 5,8        | 42,6 | 6,6        | 49,0 | 7,6        | 58,2 | 9,0        | 67,8  | 10,5       | 74,0  | 11,4       | 82,2  | 12,7       | 93,9  | 14,5       |
| 1440         | 24  | 31,7             | 3,7        | 40,1 | 4,6        | 45,3 | 5,2        | 52,1 | 6,0        | 61,9 | 7,2        | 72,0  | 8,3        | 78,7  | 9,1        | 87,4  | 10,1       | 99,9  | 11,6       |
| 2880         | 48  | 36,7             | 2,1        | 46,4 | 2,7        | 52,4 | 3,0        | 60,3 | 3,5        | 71,7 | 4,1        | 83,4  | 4,8        | 91,1  | 5,3        | 101,2 | 5,9        | 115,6 | 6,7        |
| 4320         | 72  | 39,9             | 1,5        | 50,5 | 1,9        | 57,1 | 2,2        | 65,7 | 2,5        | 78,1 | 3,0        | 90,9  | 3,5        | 99,2  | 3,8        | 110,2 | 4,3        | 125,9 | 4,9        |
| 5760         | 96  | 42,4             | 1,2        | 53,7 | 1,6        | 60,6 | 1,8        | 69,8 | 2,0        | 83,0 | 2,4        | 96,6  | 2,8        | 105,5 | 3,1        | 117,1 | 3,4        | 133,8 | 3,9        |
| 7200         | 120 | 44,5             | 1,0        | 56,3 | 1,3        | 63,6 | 1,5        | 73,2 | 1,7        | 87,0 | 2,0        | 101,2 | 2,3        | 110,5 | 2,6        | 122,7 | 2,8        | 140,3 | 3,2        |
| 8640         | 144 | 46,2             | 0,9        | 58,5 | 1,1        | 66,1 | 1,3        | 76,0 | 1,5        | 90,4 | 1,7        | 105,2 | 2,0        | 114,9 | 2,2        | 127,6 | 2,5        | 145,8 | 2,8        |
| 10080        | 168 | 47,8             | 0,8        | 60,4 | 1,0        | 68,2 | 1,1        | 78,5 | 1,3        | 93,4 | 1,5        | 108,6 | 1,8        | 118,7 | 2,0        | 131,8 | 2,2        | 150,6 | 2,5        |

# Starkniederschlagshöhen und -spenden gemäß KOSTRA-DWD-2020

## Rasterfeld 129193

(Zeile 129, Spalte 193)

### Örtliche Unsicherheiten in Abhängigkeit von Wiederkehrzeit T und Dauerstufe D

| Dauerstufe D |     | Wiederkehrzeit T |     |     |     |      |      |      |      |       |
|--------------|-----|------------------|-----|-----|-----|------|------|------|------|-------|
|              |     | 1 a              | 2 a | 3 a | 5 a | 10 a | 20 a | 30 a | 50 a | 100 a |
| min          | Std | ± %              | ± % | ± % | ± % | ± %  | ± %  | ± %  | ± %  | ± %   |
| 5            |     | 13               | 12  | 12  | 13  | 13   | 14   | 14   | 14   | 15    |
| 10           |     | 12               | 14  | 15  | 16  | 17   | 18   | 18   | 19   | 19    |
| 15           |     | 14               | 16  | 17  | 18  | 20   | 21   | 21   | 21   | 22    |
| 20           |     | 16               | 18  | 19  | 20  | 21   | 22   | 22   | 23   | 24    |
| 30           |     | 17               | 19  | 20  | 21  | 23   | 24   | 24   | 25   | 25    |
| 45           |     | 18               | 20  | 21  | 22  | 24   | 24   | 25   | 26   | 26    |
| 60           | 1   | 18               | 20  | 21  | 22  | 24   | 25   | 25   | 26   | 26    |
| 90           | 1,5 | 18               | 20  | 21  | 22  | 24   | 25   | 25   | 26   | 26    |
| 120          | 2   | 17               | 20  | 21  | 22  | 23   | 24   | 25   | 25   | 26    |
| 180          | 3   | 17               | 19  | 20  | 21  | 23   | 24   | 24   | 25   | 25    |
| 240          | 4   | 16               | 19  | 20  | 21  | 22   | 23   | 24   | 24   | 25    |
| 360          | 6   | 16               | 18  | 19  | 20  | 21   | 22   | 23   | 23   | 24    |
| 540          | 9   | 15               | 17  | 18  | 19  | 21   | 22   | 22   | 23   | 23    |
| 720          | 12  | 15               | 17  | 18  | 19  | 20   | 21   | 21   | 22   | 23    |
| 1080         | 18  | 15               | 16  | 17  | 18  | 20   | 20   | 21   | 21   | 22    |
| 1440         | 24  | 15               | 16  | 17  | 18  | 19   | 20   | 20   | 21   | 22    |
| 2880         | 48  | 15               | 16  | 17  | 18  | 19   | 20   | 20   | 20   | 21    |
| 4320         | 72  | 16               | 17  | 17  | 18  | 19   | 20   | 20   | 20   | 21    |
| 5760         | 96  | 17               | 17  | 18  | 18  | 19   | 20   | 20   | 20   | 21    |
| 7200         | 120 | 17               | 18  | 18  | 19  | 19   | 20   | 20   | 20   | 21    |
| 8640         | 144 | 18               | 18  | 19  | 19  | 20   | 20   | 20   | 21   | 21    |
| 10080        | 168 | 19               | 19  | 19  | 19  | 20   | 20   | 21   | 21   | 21    |

### Parameter für abweichende T und D

#### Lokationsparameter $\xi$ (Xi)

16,24769456

#### Skalenparameter $\alpha$ (Alpha)

5,9816932

#### Formparameter $\kappa$ (Kappa)

-0,1

#### 1. Koutsoyiannis-Parameter $\theta$ (Theta)

0,0328031

#### 2. Koutsoyiannis-Parameter $\eta$ (Eta)

0,7894072

Parameter für dauerstufenübergreifende Extremwertschätzung nach KOUTSOYIANNIS et al. 1998.

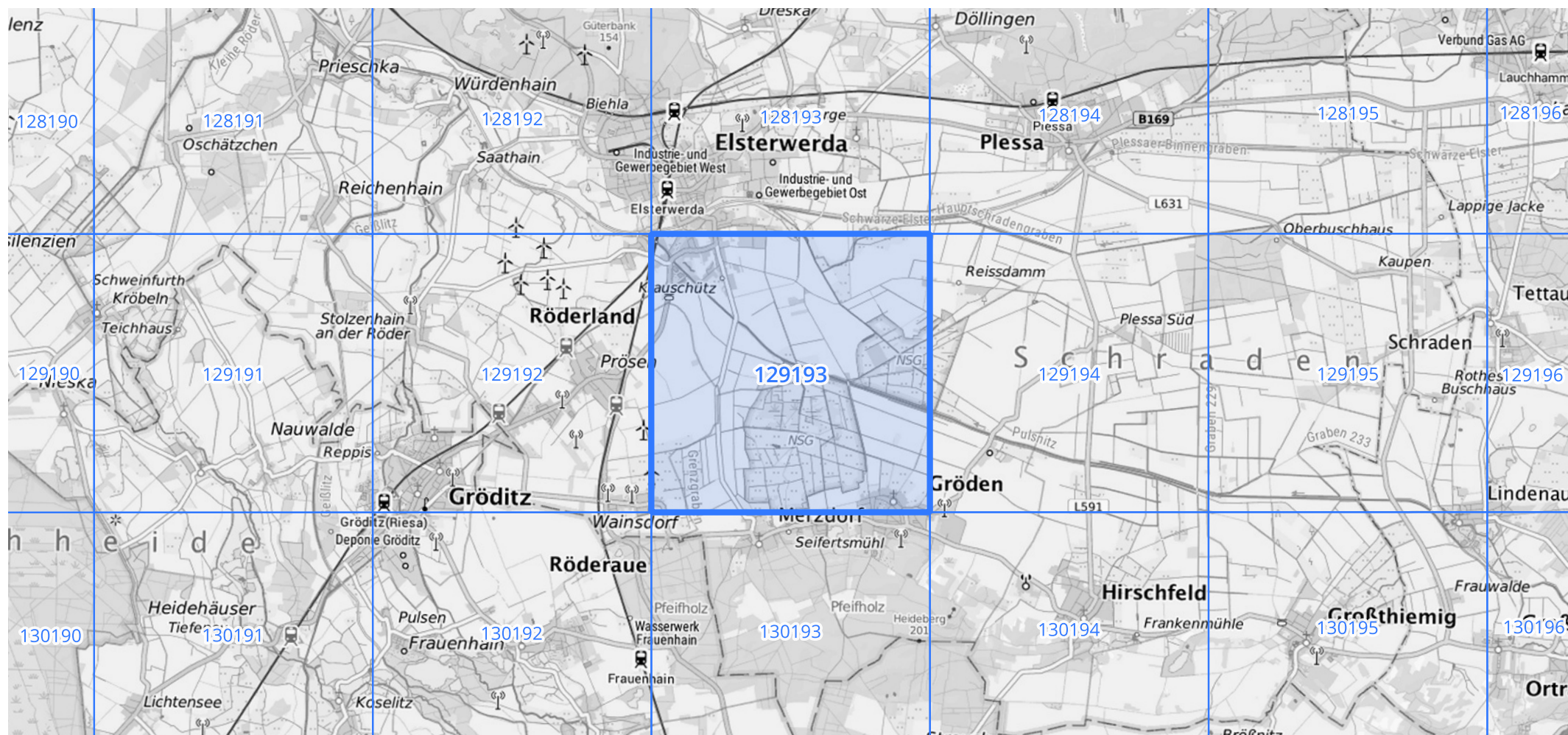
Siehe auch Anwendungshilfe zu KOSTRA-DWD-2020 des Deutschen Wetterdienstes.

# Starkniederschlagshöhen und -spenden gemäß KOSTRA-DWD-2020

## Rasterfeld 129193

(Zeile 129, Spalte 193)

### Übersichtskarte des Rasterfeldes 129193, M 1 : 100 000



Quelle Rasterdaten: KOSTRA-DWD-2020 des Deutschen Wetterdienstes, Stand 12/2022.

Seite 3 von 3

Kartendarstellung: © Bundesamt für Kartographie und Geodäsie (2023), Datenquellen: [https://sgx.geodatenzentrum.de/web\\_public/gdz/datenquellen/Datenquellen\\_TopPlusOpen.html](https://sgx.geodatenzentrum.de/web_public/gdz/datenquellen/Datenquellen_TopPlusOpen.html)

Für die Richtigkeit und Aktualität der Angaben wird keine Gewähr übernommen. Erstellt 01/2023.